

活性汚泥法の適正管理に関する動力学的研究 —動力学式のパラメーター測定と自動制御への応用—

大阪大学 工学部 正会員 ○橋本 獅
藤田 正寛

まえおき

活性汚泥法は、污水や廃水を培養基として、細菌や原生動物その他の微生物の混合集団を連続培養することにより汚染性の有機物を酸化分解する方法で、従来醸酵工学で用いられて来た微生物の連続培養を応用了したものである。この方法は、金属毒物やその他毒物による生物阻害とこれら毒物の汚泥内蓄積の欠点はあるにしても、非常に融通性のある廃水処理法として、多くの廃水の処理に適用され、実用化されている。しかし、その実用化に際して、微生物増殖の動力学的基礎を理解しないまま、施設の設計や管理、又実験研究に携わることは極めて危険であると思われる。そこで、本論文では、微生物増殖動力学からみた活性汚泥法の管理基礎となる考え方を整理・論述し、併せて活性汚泥法の設計と管理に極めて重要な動力学式のパラメーター測定の簡便法とその実験結果の概要を報告する。

1. 活性汚泥の増殖とBOD除去の動力学基礎式

活性汚泥の増殖とBOD除去の関係は、経験的実験的に次式で示される。^{(1) (2) (3) (4)}

$$\frac{dS}{dt} = Y \cdot \frac{dLr}{dt} - b \cdot S \quad \dots (1) \quad \text{但し } \frac{dS}{dt} : \text{活性汚泥の増殖速度 (単位時間当たりの増殖微生物濃度, ppm)}$$

(1)式を書きかえると

$$\frac{1}{S} \cdot \frac{dS}{dt} = Y \cdot \frac{1}{S} \cdot \frac{dLr}{dt} - b \quad \dots (2)$$

又、BOD除去速度 $\frac{dLr}{dt}$ は次式で示される。^{(5) (1) (7)}

$$\frac{dLr}{dt} = \frac{k_s S \cdot le^n}{K_m + le^n} \quad \dots (3)$$

(3)式を変形して

$$\frac{1}{S} \cdot \frac{dLr}{dt} = \frac{K_m}{k_s} \cdot \frac{le^n}{K_m + le^n} + \frac{1}{k_s} \quad \dots (4)$$

$$\frac{1}{S} \cdot \frac{dLr}{dt} = \frac{1}{k_s} \cdot le^n + \frac{K_m}{k_s} \quad \dots (5)$$

即ち、(4)式では $\frac{1}{S} \cdot \frac{dLr}{dt}$ と $\frac{1}{k_s} \cdot le^n$ 、又(5)式では $\frac{1}{S} \cdot \frac{dLr}{dt}$ と le^n をそれぞれ縦軸と横軸にプロットして直線になれば(3)式の成立を検証することができます。直線関係の高い方を選んで k_s と K_m を求めることができます。(3)式を(1)式に代入すると

$$\frac{1}{S} \cdot \frac{dS}{dt} = Y \cdot \frac{1}{k_s} \cdot le^n - b \quad \dots (6) \quad \text{となります。}$$

ここで活性汚泥の比増殖率 μ は、 $\mu = \frac{1}{S} \frac{dS}{dt}$ 、活性汚泥の最大比増殖率 μ_{max} は、 $\mu_{max} = Y \cdot k_s$ から、(6)式は

$$\mu = Y \cdot \frac{k_s le^n}{K_m + le^n} - b \quad \text{或は} \quad \mu = \mu_{max} \frac{le^n}{K_m + le^n} - b \quad \dots (7)$$

となる。活性汚泥法では普通一般的に $n = 1$ で上式が成立するので、以後の活性汚泥法の増殖動力学式は $n = 1$ と論述する。

2. 動力学式の活性汚泥法への適用

近年 Jenkin & Garrison⁵⁾, Lawrence & McCarty⁶⁾, Sherrard & Schroeder⁷⁾, Sherrard & Lawrence¹⁰⁾ 等は、先の活性汚泥の増殖動力学式を適用して、活性汚泥法の設計並びに管理に極めて適切な

数学モデルを提案している。活性汚泥法では、一般に沈殿活性汚泥を曝気槽に再度送るが、ここでは曝気槽が、完全混合式の場合と押し出し流れ式の両者について、それそれ活性汚泥法の動力学式を説明してみる。

2-a 污泥返送完全混合式曝気槽の場合

汚泥返送完全混合式曝気槽の場合の活性汚泥法の工程は第1図のよう流れである。ここで V_1 は沈殿池の汚泥ホッパー容量、 V_2 は返送汚泥用パイプ容積を示す。このプロセスは曝気槽、沈殿池、返送汚泥用パイプ内で

活性汚泥微生物細胞の物質収支を取ると、増殖活性汚泥微生物の抜き取りを曝気槽から行う場合は

$$V \frac{ds}{dt} + V_1 \frac{dS_r}{dt} + V_2 \frac{dS_r}{dt} = V (Y \frac{dL_r}{dt} - b_s s) + V_1 (Y_1 \frac{dL_r}{dt} - b_1 s_r) + V_2 (Y_2 \frac{dL_r}{dt} - b_2 s_r) - [Q_w s_r + (Q_2 - Q_1) s_r]$$

汚泥返送ルートから抜き取り場合は

$$V \frac{ds}{dt} + V_1 \frac{dS_r}{dt} + V_2 \frac{dS_r}{dt} = V (Y \frac{dL_r}{dt} - b_s s) + V_1 (Y_1 \frac{dL_r}{dt} - b_1 s_r) + V_2 (Y_2 \frac{dL_r}{dt} - b_2 s_r) - [Q_w s_r + (Q_2 - Q_1) s_r]$$

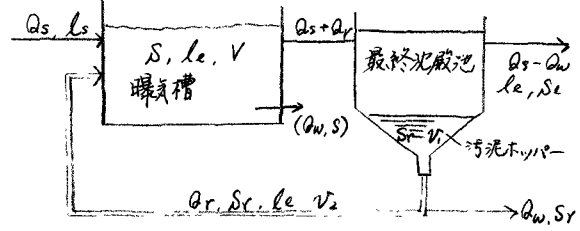
ここで Y_1, Y_2 は各々沈殿池および汚泥返送用パイプ内における収率(数)を、 b_1, b_2 は各々沈殿池および汚泥返送用パイプ内における活性汚泥の自己分解係数を表わし、一般に曝気槽内の Y, b とは異なった値を取ると考えられる。さらに、ここでは沈殿池に入った活性汚泥は瞬時に固液分離がなされ、濃縮活性汚泥(濃度 S_r)は汚泥ホッパー内に移行すると仮定している。(8)式(9)式の右辺第1項は曝気槽内における増殖活性汚泥微生物量を第2項は沈殿池汚泥ホッパー内でのそれを、また第3項は汚泥返送用パイプ内でのそれを示す。以後、簡単のために、活性汚泥微生物の沈殿池および返送汚泥用パイプ内における増殖は曝気槽におけるよりも著しく少ないので、曝気槽内のみで起きたと仮定し、さらに(8)式および(9)式の定常状態を仮定すると、 $\frac{ds}{dt} = \frac{dS_r}{dt} = 0$ とするので、(8)式および(9)式から次式が導かれる。

$$\frac{Q_w (S - S_r) + Q_2 S_r}{V \cdot S} = Y \cdot \frac{1}{S} \frac{dL_r}{dt} - b \quad (8)$$

$$\frac{Q_w (S_r - S_e) + Q_2 S_e}{V \cdot S} = Y \cdot \frac{1}{S} \frac{dL_r}{dt} - b \quad (9)$$

曝気槽における活性汚泥微生物細胞の平均滞留時間 t_s は、

$$t_s = \frac{\text{曝気槽内活性汚泥微生物細胞量}}{\text{曝気槽から流出抜き取られた活性汚泥微生物細胞量}}$$



第1図 汚泥返送完全混合式曝気槽の模式図

$$t_s = \frac{V \cdot S}{Q_w (S - S_r) + Q_2 S_r} \quad \text{または} \quad t_s = \frac{V \cdot S}{Q_w (S_r - S_e) + Q_2 S_e} \quad \dots \quad (10)$$

(8)式と(9)式の両式に(10)式を代入すると

$$t_s = Y \cdot \frac{1}{S} \frac{dL_r}{dt} - b \quad (10)$$

(10)式はBOD除去の動力学基礎式の(2)式と同一の式であり

$$t_s = \frac{1}{S} \frac{dL_r}{dt} = \mu \quad (10)$$

$\frac{1}{S} \frac{dL_r}{dt}$ はBOD-SO₄除去量であるから、 $\frac{1}{S} \frac{dL_r}{dt} = L_r$ とすると(10)式および(10)式から

$$L_r = \frac{k \cdot l_e}{K_m + l_e} \quad (11)$$

$$t_s = Y \cdot L_r - b \quad (12)$$

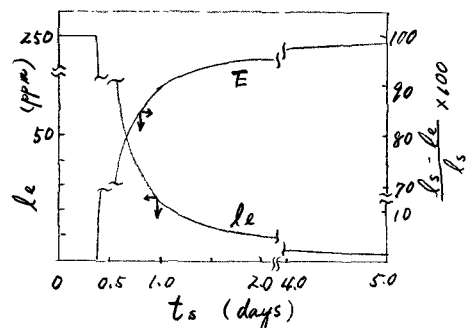
(11)式を(12)式に代入し l_e について解くと

$$l_e = \frac{K_m (1 + b \cdot t_s)}{t_s (Y k - b) - 1} \quad (13)$$

(13)式から l_e について解くと

$$l_e = \frac{L_r \cdot K_m}{k - L_r} \quad (14)$$

このように、下水や汚水、又特殊な廃水についてパラメータ Y, k, K_m, b をあれば、流水のBOD基



第2図 完全混合式曝気槽を用いた活性汚泥法における $t_s - l_e, t_s - E$ の関係

質濃度或は COD 基質濃度 l_e は、 t_s 或は L_r の関数となる。BOD あるいは COD の基質除去量 I 、 $Q_s(l_s - l_e)$ で表されるので、 $\frac{dl}{dt} = \Delta l / t_s = Q_s / V (l_s - l_e)$ となる。従って(1)式を書きかえると

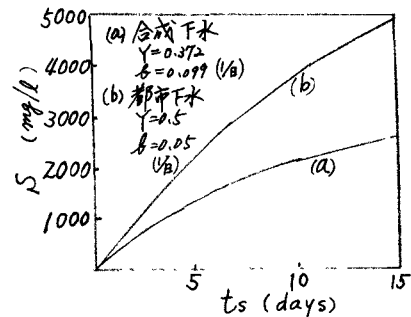
$$I = \frac{t_s}{V} \cdot \frac{Y(l_s - l_e)}{1 + b \cdot t_s} \quad \dots (1)$$
 但し $\frac{V}{Q_s} = t_d$ (滞留時間) である。
 即ち活性汚泥微生物細胞の濃度は、 t_s の関数である。曝気槽内の活性汚泥微生物細胞量を調整するためには、 $Q_w \cdot S$ と $Q_w \cdot S_r$ が、流出水に含まれて流去する活性汚泥微生物量 ($Q_s - Q_w$)・ S よりも著しく大きい。 $Q_w \cdot S$ 或は $Q_w \cdot S_r$ を種々かえて、曝気槽内の活性汚泥微生物量を調整すれば $I = I_s$ (1) 式で示すように、 t_d と t_s を一定に維持することもできる。 $Q_w \cdot S$ 或は $Q_w \cdot S_r$ を低くすると、曝气槽内の活性汚泥微生物濃度は、沈殿池で効果的に沈殿しないような高濃度に増大するので、流出水の活性汚泥微生物濃度 ($Q_s - Q_w$) は著しく増大する。返送汚泥量を G_r とし、 $G_r/I_s = r$ (返送比) とすれば、(1)式から

$$\frac{1}{t_s} = \frac{Q_s}{V} (1 + r - r \cdot \frac{S_r}{S}) \quad \dots (2)$$

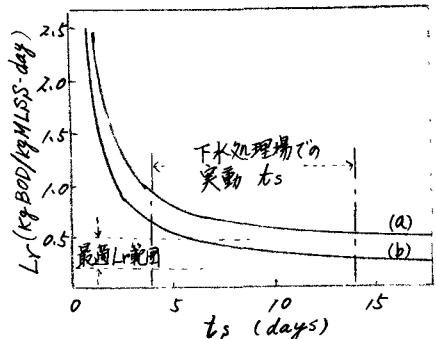
(2)式からわかるように、 t_s は V と $\frac{S_r}{S}$ の関数であることがわかる。 $\frac{S_r}{S}$ 比は沈殿池における活性汚泥微生物の沈殿特性と沈殿分離効率に影響される。以上述べた活性汚泥法の各種の微生物増殖動力学式が無効となる要因として次のようない事が指摘される。
 ①活性汚泥の沈殿性能の悪化、②曝気槽酸素移動の制限、③毒物の存在。
 従って各種の微生物増殖の動力学式の成立には、最終沈殿池が適切に設計され、曝気槽の好気条件を保持するためには十分な曝気性能があること、更に廃水中に毒物が存在しないことを前提においている。
 今、著者らの研究室で測定した各パラメータの値 ($K_m = 45.5 \text{ mg/l}$, $Y = 0.372$, $A = 0.35 \text{ /日}$, $B = 0.098 \text{ /日}$) を用いて、汚泥返送完全混合式の曝気槽の場合(1)式から、 $t_s - l_e$ の関係、又 $l_s = 250 \text{ ppm}$ を仮定して、 $t_s - E$ (除去率 = $\frac{l_s - l_e}{l_s}$) の関係を図示すると第2図のようになる。又、 $l_s = 250 \text{ ppm}$, $t_d = 5 \text{ 時間} = 0.208 \text{ 日}$, 95% BOD 除去率を仮定して、(1)式から $t_s - S$ の関係を図示すると第3図のようになる。更に、(1)式から $t_s - L_r$ の関係を図示すると第4図のようになる。(1)式からわかるように、 t_s を一定にすれば t_d 一定 t_s と l_e で、流入水の BOD 濃度 l_s を増大させると、 S が増大する。第3図を見れば t_s を低下させると、活性汚泥微生物細胞が増殖よりも早く洗い流されて、BOD 除去効率は著しく低下することがよくわかる。完全に活性汚泥微生物細胞が洗い流される状態では $l_e = l_s$ となり、このときの t_s 値が t_s^m 値となり、この値を最小活性汚泥微生物細胞滞留時間といっている。このことから $t_s = t_s^m$ にならざる施設の設計や管理操作を行ってはならないといふことになる。又、活性汚泥微生物により代謝され難い難分解性合成有機化合物質例えばポリビニルアルコールや A.B.S や炭化水素誘導体、D.D.T., P.C.B., B.H.C. 等のようないものは、たゞこれらを分解微生物を分離して、活性汚泥混合微生物集中に投入しても、これら微生物の比増殖速度 $M = \frac{1}{t_s}$ は、活性汚泥微生物の M よりも著しく小さいので、処理系から流出してしまうことになり、この問題は、工場廃水を受け入れている活性汚泥法施設では極めて重大な問題であると考えられる。

2-b 返送のある押出し流れ式曝気槽の場合

返送のある押出し流れ式曝気槽流れの模式図を下すと第5図



第3図 完全混合式曝気槽を用いた活性汚泥法における $t_s - S$ の関係



第4図 完全混合式曝気槽を用いた活性汚泥法における $t_s - L_r$ の関係

9 ように 163. 曝気槽流入口の活性汚泥微生物濃度を S_0 、流出口の活性汚泥微生物濃度を S 、曝気槽内の平均活性汚泥微生物濃度 $\bar{S} = \frac{S_0 + S}{2}$ とし、返送のある完全混合式曝気槽と同様に、このプロセスの曝気槽内における活性汚泥微生物の物質収支をとり、定常状態を考えると次式が成立する。

$$\frac{Q_w S_r + (Q_s - Q_w) S_0}{V \cdot \bar{S}} = Y \cdot \frac{1}{\delta t} - \beta \quad (21)$$

ここで余剰汚泥は返送レートから除去すると仮定する。返送のある完全混合式曝気槽と同様に、上式の左辺は右辺における。

$$Yts = Y \cdot \frac{1}{\bar{S}} \cdot \frac{dl}{dt} - \beta \quad (22)$$

上式は BOD 除去の動力学基礎式(2)と同一式であり、活性汚泥の比増殖率を M とすと、押し出し流れ式の場合も、

$$Yts = \frac{1}{\bar{S}} \cdot \frac{dl}{dt} = M \quad \dots (23) \text{ である。 } \frac{1}{\delta t} \frac{dl}{dt} \text{ は}$$

BOD-S,S 除去量であるから、 $\frac{1}{\delta t} \frac{dl}{dt} = L_r$ とすと

$$\frac{1}{\delta t} \frac{dl}{dt} = L_r = \frac{k_r l e}{K_m + l e} \quad \dots (24)$$

橋本・藤田⁷⁾は押し出し流れ式曝気槽を用いるバイオソーフションプロセスにおいて、(24)式が成立を認めていく。(24)式を(23)式に代入し、 l_{t_0} について解くと、完全混合式の場合の(16)式と同じ式となる。又、BOD 除去量は $\frac{dl}{dt} = \frac{Q_s}{V} (l_s - l_e)$ で表わされるので、(23)式は、

$$Yts = \frac{Y Q_s}{V \bar{S}} (l_s - l_e) - \beta \quad \dots (25)$$

$$(25) \text{ 式を } \bar{S} \text{ について解くと } \bar{S} = \frac{l_s}{t_d} \cdot \frac{Y(l_s - l_e)}{1 + b \cdot t_s} \quad \dots (26)$$

$$\text{また(25)式から } Yts = \frac{Q_s}{V} \cdot \left(1 + r - r \cdot \frac{S_r}{\bar{S}} \right) \quad (27)$$

となる。

3. 動力学式のうち活性汚泥法操作の基礎

3-a 活性汚泥増殖動力学式のパラメータ測定について

・バッチ実験によるパラメータ測定

活性汚泥法のバッチ実験から、活性汚泥微生物の増殖動力学式のパラメータを求めることは、次のようにして行なう。第4回のバッチ実験では、 L_r は $\frac{l_0 - l}{t_0 - t}$ とし、又、 Yts は $\frac{S_0 - S}{t_d}$ とし t_0 で表わされる。従って、BOD 基質減少曲線と活性汚泥微生物の増殖曲線から、各種の $\frac{S_0 - S}{t_0} / t - t_0$ 値について、 $\frac{l_0 - l}{t_0 - t}$ の値を求めて、これらの値をグラフにプロットすれば、直線が得られる。(16)式に基づいて直線の傾斜から Y 、継軸切片から β を求めることができる。又、 k_r のパラメータについては、活性汚泥微生物は時間とともに幾分増大するから、この増殖速度は次式に従うとすと

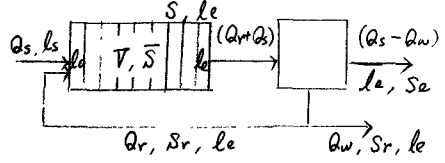
$$\frac{ds}{dt} = k_r s \quad (28) \quad s = s_0 \cdot e^{k_r t} \quad (29)$$

(29)式が成立するためには、活性汚泥微生物が対数増殖を示すようにバッチ実験初期に BOD-S,S 比つまり l/l_0 比(食物/微生物比)を大きくとらねばならない。又、BOD 除去速度は Michaelis model は従うとすと $\frac{1}{\delta t} \frac{dl}{dt} = \frac{k_r l}{K_m + l}$ 成立す。

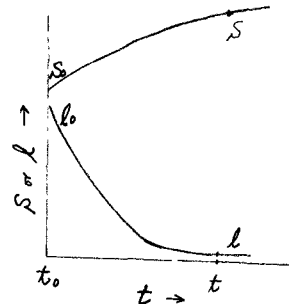
$$\text{上式を(29)式を代入して微生物増殖を考慮すると } \frac{dl}{dt} = k_r s_0 \frac{l}{K_m + l} \cdot e^{k_r t} \quad \dots (30)$$

上式を $t=0$, $l=l_0$, $s=s_0$ と、 $t=t$, $l=l$, $s=s$ の範囲で積分すると

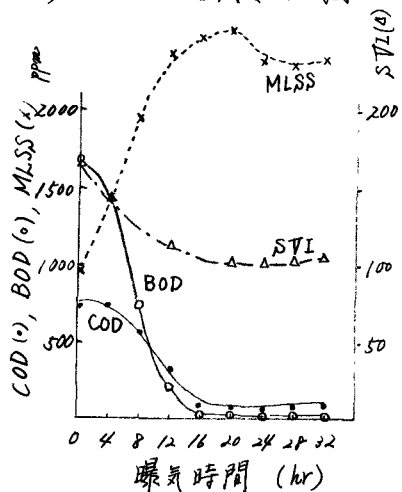
$$l_0 - l - K_m \cdot \ln \frac{l}{l_0} = \frac{k_r}{K_m} (s - s_0) \quad \dots (31)$$



第5回 返送のある押し出し流れ式曝気槽



第6回 活性汚泥法のバッチ実験結果の模式図



第7回 ゼラチン廃水のバッチ処理実験

(1) 基質濃度と微生物細胞濃度の経時変化

今、上式で $t=0$ の時間経過で、 $\lambda = \frac{1}{2}k_0$, $S=S_0=15.35\text{ppm}$ は、基質濃度 l_0 の半減プロット法¹¹⁾を行えば、上式は $\lambda = \frac{1}{2}k_0$ を代入すれば $\lambda_0 = 2 \cdot \frac{k_0}{K_m} (S - S_0) - 1.3846 \times Km$ ……(33)

又、基質濃度 l_0 の半減プロット法を行ひ、上式は $\lambda = \frac{1}{2}k_0$ を代入すれば、先と同様に

$\lambda_0 = 4 \cdot \frac{k_0}{K_m} (S - S_0) - 1.1507 \cdot Km$ ……(34) となる。そこで、BOD 基質減少曲線上で、 λ_0 , λ , k_0 , t , S_0 , S を $\frac{\lambda_0}{\lambda} = \frac{1}{2}$ 或は $\frac{\lambda_0}{\lambda} = \frac{2}{4}$ に代入すれば若干個の場合をとて、各種の k_0 値と $(S - S_0)$ 値を求めて、グラフにプロットすれば、直線が示されながら、直線の傾斜から $2 \cdot \frac{k_0}{K_m}$ 或は $4 \cdot \frac{k_0}{K_m}$ が求まり、 K_m がわかつてはから K_m が求められる。又、直線切片から Km が求められる。このようにすれば各種活性汚泥微生物濃度に対する Km も求めることが可能である。

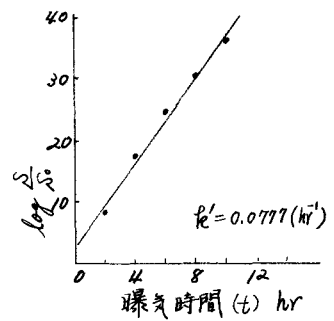
ゼラチン廃水による実験：ゼラチン廃水を、BOD-SS 負荷 $0.3 \text{kg}/\text{SS kg/day}$ の活性汚泥法にかけて曝養した活性汚泥を用いた。ゼラチン廃水と活性汚泥微生物を加え、全量の $1/10$ にて通気攪拌しながら、バッチ培養を行い、COD, BOD, MLSS, SVI の時間変化を測定した。COD と BOD は 10000 rpm 5 分間の超遠心分離上澄液について又 MLSS は同じく 10000 rpm 5 分間の超遠心分離の沈殿部について求めた。第7図はゼラチン廃水の活性汚泥処理のバッチ実験における活性汚泥微生物濃度と BOD, COD の経時変化を示したものである。第7図の活性汚泥微生物濃度の経時変化のデータを用いて、(28) 式が成立を驗証すると第8図のようになり、約 12 時間迄、(28) 式が成立し、 $k' = 0.0777$ ($/\text{時間}$) となった。又、第7図の BOD と MLSS の経時変化のデータを用いて、(33) 式に従って基質濃度の半減プロットを行えば、第9図のようになり、BOD 基質に関する Km は 25.57 ppm , $k = 2.712$ ($/\text{日}$)、又 同様に COD 基質については $Km = 80.88 \text{ ppm}$, $k = 0.956$ ($/\text{日}$) となつた。又、第7図のデータから BOD 基質について、 $Lr = \frac{l_0 - l}{S_0} / t - t_0$ に対して $Y_{ls} = \frac{S - S_0}{S_0} / t - t_0$ をプロットすれば、第10図のよう直線関係を得られ、 $Y = 0.7573 (\text{kg/kg})$, $B = 0.0071$ ($/\text{時間}$) = 0.1704 ($/\text{日}$)、又、同様に COD 基質について $Y = 2.558$ ($/\text{日}$), $B = 0.005$ ($/\text{時間}$) = 0.12 ($/\text{日}$) となつた。

・連続培養実験によるパラメータ測定

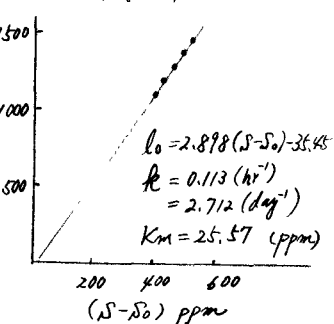
連続培養においても、(16)式、(25)式に示すように Y , B , k , Km を求めることが出来る。ここで一般的の都合で省略する。

3-8 t_s 制御の意義について

活性汚泥は、環境の突然の変化に対して、極めて感受性が高い。環境が一定に保たれている場合は、活性汚泥は最も効率的に働くので、活性汚泥プラントを最高の効率で稼動させることは下流比ナリ BOD-SS 負荷を一定に保つ必要がある。曝氣槽混合液の SS 制御の目的は、BOD-SS 負荷を最適範囲内に保つことであり、普通一般に $0.2 \sim 0.5 (\text{kg}/\text{SS kg/day})$ とされている。ここで述べて来た t_s 制御法では t_s は k_e , Lr に関係し、 t_s 制御によつて汚泥の沈降性と流出水の水質をコントロールすることができます。 t_s 制御の手順として、①希望する k_e に対する望ましい t_s を選択する。②曝氣槽内に存在する全活性汚泥量を毎日測定する。③全活性汚泥量を t_s で割り、毎日の引抜き汚泥量 Q_u , N_r 又は、返送汚泥量 Q_r , S_r をきめる。④引抜き汚泥の濃度、又は返送汚泥濃度 S_r を測定して、汚泥引抜き容量 Q_w 、又は返送汚泥量 Q_r を決める。例えば $t_s = 5$ 日に保つれば、曝氣槽中の全活性汚泥をプロセ



第8図 ゼラチン廃水のバッチ処理実験における $\log \frac{S_0}{S}$ と曝気時間 (t) の関係



第9図 ゼラチン廃水のバッチ処理実験における BOD 基質濃度の半減期プロット法による k と Km の測定

スから5日間で引き抜かねばならない。 t_s 制御の利点は TFM 比制御を含め 管理労力が少くすみ、活性汚泥の自動制御に応用できる。

4 活性汚泥法の自動制御

t_s を制御する活性汚泥法の自動制御の方法について記述する。

完全混合式曝気槽を用いる場合の制御動力学式は

$$\frac{1}{t_s} = \frac{Q_s}{V} (1 + r - r \cdot \frac{S_r}{S}) \quad (20)$$

押し出し流れ式曝気槽を用いる場合の制御動力学式は

$$\frac{1}{t_s} = \frac{Q_s}{V} (1 + r - r \cdot \frac{S_r}{S}) \quad (21)$$

即ち、 Q_s , S , S_r , r を常時モニタリングしておけば、 V がわかっていてから上式から容易に所定の t_s に t_s ように 活性汚泥法最適制御のために返送汚泥量 Q_r を制御することができる。完全混合式曝気槽の場合、(20) 式から $Q_r = \frac{t_s \cdot Q_s - V}{t_s (\frac{S_r}{S} - 1)}$ \dots (25)

また、第11図は押し出し流れ式曝気槽を用いた活性汚泥法の流処理と自動制御を示したものである。

ここで、 $\bar{S} = \frac{S_0 + S_r}{2}$ である。 S_0 と S_r に対して、 $\frac{V}{Q_s + Q_r}$ 時間だけ時間差れとなるため、 S_0 の連続自動測定と同時に S_r に対する S_i の予測値を求めねばならない。ここで、曝気槽内の比増殖率 γ_{t_s} は一定値となるよう制御することから $\frac{V}{Q_s + Q_r}$ 時間後の \bar{S} は次のように t_s である。

$$\bar{S} = S_0 (1 + \frac{1}{2t_s} \cdot \frac{V}{Q_s + Q_r}) \quad (26)$$

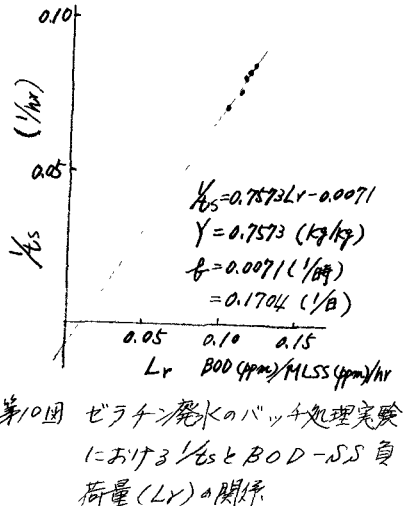
上の \bar{S} を式(26)に代入し、 Q_r について求めると

$$Q_r = \frac{V - Q_s \left(\frac{2t_s \cdot \bar{S}}{2 + \frac{V}{Q_s}} \cdot Q_s - V \right) \left(\frac{2t_s \cdot \bar{S}}{2 + \frac{V}{Q_s}} \cdot Q_s - V \right)^2 - PV \left(\frac{V}{Q_s} - 1 \right)}{2 \cdot t_s \cdot S_0 \cdot Q_s - V \left(\frac{2t_s \cdot \bar{S}}{2 + \frac{V}{Q_s}} \cdot Q_s - V \right)^2 - PV \left(\frac{V}{Q_s} - 1 \right)} \quad \dots (27)$$

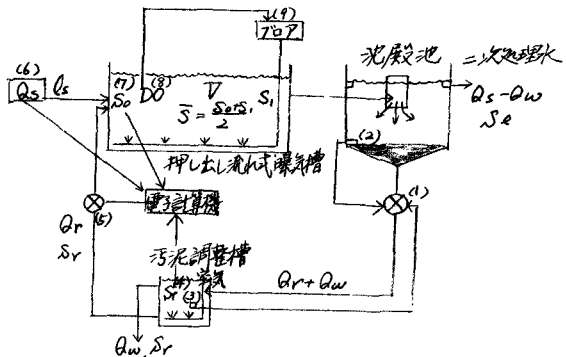
上記2式は 自動測定された S , S_0 , S_r , Q_s および一定値の V , P を入れて電算機で Q_r を求め、これを

を返送汚泥ポンプに運動させて、返送汚泥量を制御する。第11図に示したように、沈殿池の沈殿活性汚泥は、汚泥液面制御②と自動バルブ①、又、汚泥調整槽の汚泥液面制御③と自動バルブ④を運動させて、今乗換水取り汚泥量 Q_w は 汚泥調整槽における溢流トラフより自由に溢出する。又、曝気槽の流入口では、溶存酸素濃度が不足しないよう工夫して DO の自動測定を行い、この計測値をプロアに運動して空気量制御を行なう。 t_s はよろ活性汚泥法の自動制御は省力化が呼ばれている昨今、極めて注目に値するので 今後の検討を進めてい。

文献 1) Hantakelian, H. et al : S.I.W., 23, 945 (1951) 2) Weston, R. F. et al : S.I.W., 27, 802 (1955) 3) Van Uden, N: Archiv fur Mikrobiologie, 58, 145 (1967) 4) McCarty, P. L. et al. : J.W.P.C.F., 44, 1095 (1962) 5) Jenkins, D. et al : J.W.P.C.F., 40, 1905 (1968) 6) McKinney, R. E : J.S.A Div ASCE, 88, SA3, 3133, 387 (1970) 7) 橋本・藤田：下水協, 上, (50), 1 (1968) 8) Lawrence, A.W. et al. : J.S.A Div. A.S.C.E., 96, SA3, 7365, 757 (1970) 9) Sherrard, J. H. et al. : Water Res., 6, 1029 (1972). 10) Sherrard, J. H. et al : J. Environmental Eng. Div A.S.C.E., 99, EE6, 773 (1973) 11) Terui, G. et al : Technology Reports Osaka Univ., 10, 572 (1960)



第10図 ゼラチン廃水のバッチ処理実験における t_s と $BOD-S_s$ 負荷量 (L_r) の関係



①自動バルブ、②汚泥液面制御、③液面制御、④水流速度自動測定 ⑤返送汚泥ポンプ(汚泥返送量制御) ⑥Qs連続測定 ⑦S₀連続自動測定、⑧DO連続測定 ⑨プロア
第11図 押し出し流れ式曝気槽を用いた活性汚泥法の流処理と自動制御